

# МОДЕЛИРОВАНИЕ ПРОЦЕССА АТАКИ ПЕРСПЕКТИВНЫМИ СРЕДСТВАМИ СЪЕМА ИНФОРМАЦИИ: МОДЕЛИ ПЕРЕХВАТА ТРАФИКА

А.Е. Киселев, А.С. Пахомова, А.В. Бабурин, И.В. Шевченко

В данной работе рассматривается моделирование процесса атаки перспективными средствами съема информации на основе сетей Петри-Маркова. Дальнейшее описание модели перехвата трафика позволяет получить вид функции ущерба и сопоставить ее со статистическими данными

Ключевые слова: атака, средства негласного съема информации, ущерб, трафик

По данным WASC Threat Classification [1] выделяют три основных вида sniffing:

- sniffing во время обновления программного обеспечения;
- sniffing во время первоначальной установки программного обеспечения;
- sniffing во время установки патчей.

Но не стоит забывать что sniffing пакетов по различным протоколам (*Telnet, FTP, SMTP, POP3 и т.д.*) реализуется при

любом обмене пакетами между двумя хостами по wi-fi каналу связи.

Смоделируем атаку, направленную на съём критически важной информации, в распределенных вычислительных системах с помощью сети Петри-Маркова. Для этого рассмотрим sniffing-атаку с использованием перспективных средств мониторинга сети и съема информации [2].

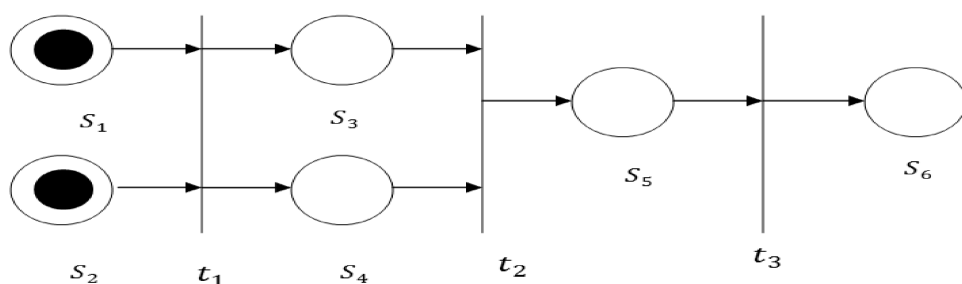


Рис. 1. Вид сети Петри-Маркова для общего вида sniffing - атаки с использованием перспективных средств съема информации

$S_1$  – обработка данных на одном из элементов распределенной вычислительной сети

$S_2$  – злоумышленник настроил sniffер

$t_1$  – сетевая разведка

$S_3$  – прием/передача данных по wi-fi каналам

$S_4$  – злоумышленник готов к перехвату

$t_2$  – перехват данных

$S_5$  – информация получена злоумышленником

$S_6$  – анализ перехваченной информации

Запишем элементы матрицы, которые определяют логические функции срабатывания сети (без учета направленности дуг графа)

Киселев Антон Евгеньевич – ВГТУ, студент, e-mail: manc@comch.ru

Пахомова Анна Степановна – ВГТУ, канд. техн. наук, ст. науч. сотрудник, e-mail: manc@comch.ru

Бабурин Александр Вильямович – ВГТУ, д-р. техн. наук, глав. науч. сотрудник, e-mail: manc@comch.ru

Шевченко Игорь Викторович – ВГТУ, студент, e-mail: mnac@comch.ru

$$V_{S_1 t_2} =$$

	$t_1$	$t_2$	$t_3$
$S_1$	1	0	0
$S_2$	1	0	0
$S_3$	0	1	0
$S_4$	0	1	0
$S_5$	0	$S_1 t_1 \cap S_2 t_1$	1
$S_6$	0	0	1

Построим для данной сети Петри-дифференциальных уравнений. Маркова систему интегрально-

$$\Phi_{S_1 t_1}(t) = \lambda_{11} \int_0^t f_{S_1 t_1}(\tau) d\tau,$$

$$\Phi_{S_2 t_1}(t) = \lambda_{21} \int_0^t f_{S_2 t_1}(\tau) d\tau,$$

$$\Phi_{S_3 t_2}(t) = \lambda_{32} \int_0^t f_{S_3 t_2}(\tau) d\tau,$$

$$\Phi_{S_4 t_2}(t) = \lambda_{42} \int_0^t f_{S_4 t_2}(\tau) d\tau,$$

$$\Phi_{S_5 t_3}(t) = \lambda_{32} \int_0^t f_{S_5 t_2}(\tau) \Phi_1(t - \tau) d\tau, \quad (1)$$

$$\Phi_{S_6 t_3}(t) = \lambda_{43} \int_0^t f_{S_6 t_3}(\tau) \Phi_1(t - \tau) d\tau,$$

$$\begin{aligned} \Phi_1(t) = & \int_0^t f_{S_1 t_1}(\tau) \Phi_{S_2 t_1}(\tau) + f_{S_2 t_1}(\tau) \Phi_{S_1 t_1}(\tau) + f_{S_3 t_2}(\tau) \Phi_{S_4 t_2}(\tau) + \\ & + f_{S_4 t_2}(\tau) \Phi_{S_3 t_2}(\tau) d\tau. \end{aligned}$$

Полагаем, что плотности распределения вероятностей являются экспоненциальными зависимостями и имеют вид:

$$f_{S_i t_j} = \beta_{ij} e^{-\beta_{ij} t}, \quad (2)$$

$$\text{где } \beta = \frac{1}{\tau_{ij}} \text{ при } i = 1, \dots, 6; j = 1, \dots, 3.$$

Применяя пуассоновское приближение, получаем среднее время перемещения по

сети Петри-Маркова из начальной позиции перемещения:  
до конечного перехода и вероятность этого

$$\tau_1 = \frac{\tau_{11}^2 + \tau_{11}\tau_{21} + \tau_{21}^2}{\tau_{11} + \tau_{21}},$$

$$\tau_2 = \frac{\tau_{12}^2 + \tau_{12}\tau_{22} + \tau_{22}^2}{\tau_{12} + \tau_{22}},$$

$$\tau_3 = \tau_1 + \tau_2 + \tau_{32},$$

$$\tau_4 = \tau_1 + \tau_2 + \tau_{32} + \tau_{42},$$

$$\tau = \frac{\tau_{11}^2 + \tau_{11}\tau_{21} + \tau_{21}^2}{\tau_{11} + \tau_{21}} + \frac{\tau_{12}^2 + \tau_{12}\tau_{22} + \tau_{22}^2}{\tau_{12} + \tau_{22}} + \tau_{32} + \tau_{42},$$

$$P(t) = 1 - e^{-\frac{1}{\tau}t}.$$

где:  
 $\tau_{11} = 5$ с – среднее время работы хоста в сети  
 необходимое для мониторинга сети  
 $\tau_{21} = 20$ с – среднее время настройки  
 программы для реализации сетевой разведки  
 $\tau_{12} = 0,5$ с – среднее время передачи  
 количества пакетов по сети достаточного для  
 анализа

$\tau_{22} = 0,1$ с – среднее время подготовки к  
 перехвату  
 $\tau_{32} = 0,1$ с – среднее время перехвата пакетов  
 $\tau_{42} = 0,5$ с – среднее время анализа пакетов

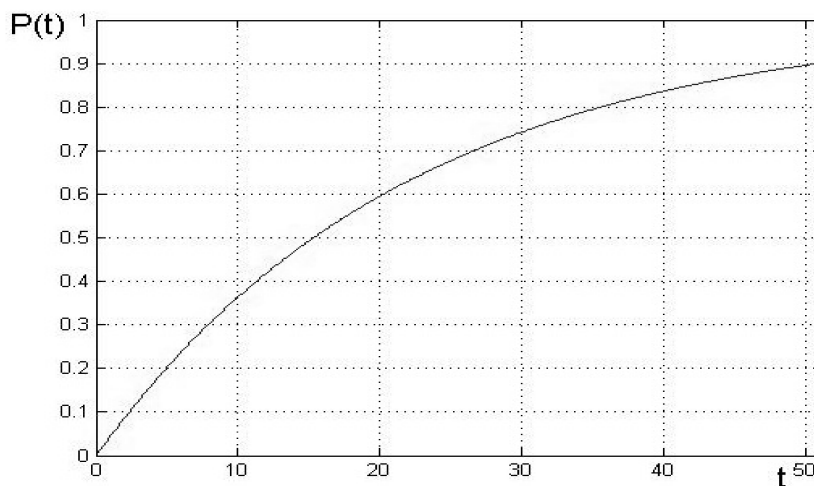


Рис. 2. Зависимость вероятности реализации sniffing-атак с помощью перспективных средств съема информации от времени

Представленная с помощью сетей-Петри Маркова модель, является обобщенной моделью атаки с помощью перспективных средств съема информации. По приведенной ранее классификации средств съема информации можно смоделировать любую sniffing - атаку для каждого класса средств в отдельности. Так как схема реализации атаки практически одинакова для всех

классов, то данные модели будут отличаться лишь используемым программным обеспечением.

В упрощенном виде модель перехвата трафика предполагает наличие хоста работающего в сети и хоста злоумышленника, встраивающегося в сеть по wi-fi каналу. Проведя сетевую разведку.

Хост злоумышленника начинает мониторинг сети с сохранением следующих данных:

- пакеты с информацией о времени получения пакета, MAC-адресах отправителя и получателя, IP-адресах отправителя и получателя, протоколе передачи, портах источника и получателя пакетов, размер TCP-окна, номер последовательности пакета и номер подтверждения этого пакета

- декодированная информация об отдельных полях пакета;

- содержимое самого пакета [3].

Пусть произвольный хост сети, состоящей из постоянного количества  $M$  хостов, может находиться в двух состояниях – уязвимом (S) и прослушиваемом (J), т.е.  $S + J = M$ . Положим что сниффинг wi-fi трафика происходит с постоянной скоростью  $\xi$ . В простейшем случае  $\xi$  будет определяться следующим соотношением

$$\xi = V_{scan} \frac{M}{M_o}, \quad (3)$$

где  $V_{scan}$  – скорость сканирования сети;  
 $M_o$  - число перехваченных злоумышленником пакетов.

Для описания динамики сканирования сети введем переменные  $j = J/M$  и  $s = S/M$ . Уравнение динамики перехвата трафика по wi-fi сети имеет следующий вид:

$$\frac{dj}{dt} = \xi j. \quad (4)$$

Данное уравнение имеет следующее аналитическое решение

$$u(t) = 1 + (-1) \cdot e^{-\xi t}. \quad (5)$$

Применительно к сниффинг-атаке распределение функции ущерба можно записать следующим образом:

$$u(t) = 1 - e^{-\xi(t-t_0)^2}. \quad (6)$$

где

$\xi$  - интенсивность атаки

$t_0$  - время начала атаки.

Введем дополнительный весовой аргумент характеризующий скорость работы процессора злоумышленника. Соответственно время необходимое для реализации сниффинг-атаки, (дешифрования сообщений, зашифрованных 64-х битным ключом) будет существенно сокращаться при использовании более современных ЭВМ. Соответственно весовая функция ущерба примет вид

$$u(t) = 1 - e^{-\xi \frac{V}{k} (t-t_0)^2}, \quad (7)$$

где

$V$  – тактовая частота процессора;

$t$  - время реализации атаки;

$k$ - коэффициент, определяемый экспертным методом с учетом значимости каждого эксперта

Таблица 1

Статистические данные распространение ущерба в результате реализации сниффинг-атаки во времени

Время (t), с	Ущерб (U(t))
0	0,0001
10	0,00031
20	0,0015
35	0,0055
50	0,055
68	0,252
79	0,391
95	0,599
108	0,8
120	0,89
140	1

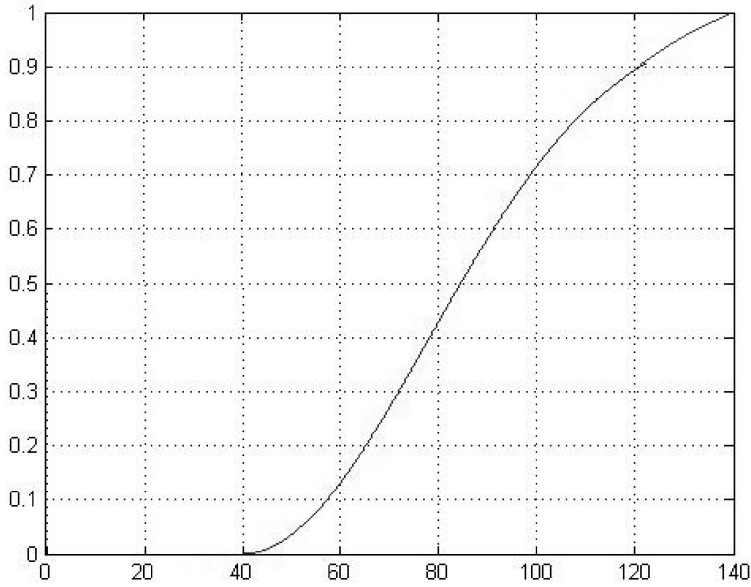


Рис. 3. Графическое (статистическое) представление ущерба

Для доказательства соответствия теоретической и статистической функции воспользуемся аппроксимацией функции с помощью глобальной интерполяции. Построим полином Лагранжа [2].

Предположим, что для  $k = 1, 2, \dots, n + 1$  функции  $\Phi_n(x)$  являются полиномами степени  $n$ , которые обладают следующим свойством:

$$\Phi_k(x_j) = \begin{cases} 1, & k = j \\ 0, & k \neq j \end{cases} \quad (8)$$

Тогда полином  $L_n(x)$  будет как раз тем, который нам и нужен, поскольку это полином степени не выше  $n$  и  $L_n(x_k) = y_k$  для всех  $k = 1, 2, \dots, n + 1$ .

$$L_n(x) = \sum_{k=1}^{n+1} y_k \Phi_k(x). \quad (9)$$

Построим функции  $\Phi_n(x)$ .

$$(x - x_1)(x - x_2) \cdot \dots \cdot (x - x_{k-1})(x - x_{k+1}) \cdot \dots \cdot (x - x_n)(x - x_{n+1}). \quad (10)$$

Данная функция является полиномом всех  $x_j$  не равных  $x_k$ . В точке  $x_k$  она принимает значение:

$$(x_k - x_1)(x_k - x_2) \cdot \dots \cdot (x_k - x_{k-1})(x_k - x_{k+1}) \cdot \dots \cdot (x_k - x_n)(x_k - x_{n+1}). \quad (11)$$

Тогда:

$$\begin{aligned} \Phi_k(x) &= \frac{(x - x_1)(x - x_2) \cdot \dots \cdot (x - x_{k-1})(x - x_{k+1}) \cdot \dots \cdot (x - x_n)(x - x_{n+1})}{(x_k - x_1)(x_k - x_2) \cdot \dots \cdot (x_k - x_{k-1})(x_k - x_{k+1}) \cdot \dots \cdot (x_k - x_n)(x_k - x_{n+1})} \\ \Phi_k(x) &= \prod_{\substack{j=1,2,\dots,n+1 \\ j \neq k}} \frac{x - x_j}{x_k - x_j}. \end{aligned} \quad (12)$$

Построим полином Лагранжа, который будет применительно к сниффинг-атаке выглядеть следующим образом: реализуемой перспективными средствами

$$\begin{aligned}
 \Phi_0(z) &= \frac{(z-10)(z-20)(z-35)(z-50)(z-68)(z-79)(z-95)(z-108) \cdot}{(0-10)(0-20)(0-35)(0-50)(0-68)(0-79)(0-95)(0-108) \cdot} \\
 &\quad \cdot \frac{(z-120)(z-100)}{(0-120)(0-100)}, \\
 \Phi_1(z) &= \frac{(z-0)(z-20)(z-35)(z-50)(z-68)(z-79)(z-95)(z-108) \cdot}{(10-0)(10-20)(10-35)(10-50)(10-68)(10-79)(10-95) \cdot} \\
 &\quad \cdot \frac{(z-120)(z-100)}{(10-120)(10-100)}, \\
 \Phi_2(z) &= \frac{(z-0)(z-10)(z-35)(z-50)(z-68)(z-79)(z-95)(z-108) \cdot}{(20-0)(20-10)(20-35)(20-50)(20-68)(20-79)(20-95) \cdot} \\
 &\quad \cdot \frac{(z-120)(z-100)}{(20-120)(20-100)}, \\
 \Phi_3(z) &= \frac{(z-0)(z-10)(z-20)(z-50)(z-68)(z-79)(z-95)(z-108) \cdot}{(35-0)(35-10)(35-20)(35-50)(35-68)(35-79)(35-95) \cdot} \\
 &\quad \cdot \frac{(z-120)(z-100)}{(35-120)(35-100)}, \\
 \Phi_4(z) &= \frac{(z-0)(z-10)(z-20)(z-35)(z-68)(z-79)(z-95)(z-108) \cdot}{(50-0)(50-10)(50-20)(50-35)(50-68)(50-79)(50-95) \cdot} \\
 &\quad \cdot \frac{(z-120)(z-100)}{(50-120)(50-100)}, \\
 \Phi_5(z) &= \frac{(z-0)(z-10)(z-20)(z-35)(z-50)(z-79)(z-95)(z-108) \cdot}{(68-0)(68-10)(68-20)(68-35)(68-50)(68-79)(68-95) \cdot} \\
 &\quad \cdot \frac{(z-120)(z-100)}{(68-120)(68-100)}, \\
 \Phi_6(z) &= \frac{(z-0)(z-10)(z-20)(z-35)(z-50)(z-68)(z-95)(z-108) \cdot}{(79-0)(79-10)(79-20)(79-35)(79-50)(79-68)(79-95) \cdot} \\
 &\quad \cdot \frac{(z-120)(z-100)}{(79-120)(79-100)}, \\
 \Phi_7(z) &= \frac{(z-0)(z-10)(z-20)(z-35)(z-50)(z-68)(z-79)(z-108) \cdot}{(95-0)(95-10)(95-20)(95-35)(95-50)(95-68)(95-79) \cdot} \\
 &\quad \cdot \frac{(z-120)(z-100)}{(95-120)(95-100)}, \\
 \Phi_8(z) &= \frac{(z-0)(z-10)(z-20)(z-35)(z-50)(z-68)(z-79)(z-95) \cdot}{(108-0)(108-10)(108-20)(108-35)(108-50)(108-68) \cdot} \\
 &\quad \cdot \frac{(z-120)(z-100)}{(108-79)(108-95)(108-120)(108-100)},
 \end{aligned}$$

$$\Phi_9(z) = \frac{(z-0)(z-10)(z-20)(z-35)(z-50)(z-68)(z-79)(z-95) \cdot (120-0)(120-10)(120-20)(120-35)(120-50)(120-68) \cdot (z-108)(z-100)}{(120-79)(120-95)(120-108)(120-100)} \cdot$$

$$\Phi_{10}(z) = \frac{(z-0)(z-10)(z-20)(z-35)(z-50)(z-68)(z-79)(z-95) \cdot (100-0)(100-10)(100-20)(100-35)(100-50)(100-68) \cdot (z-108)(z-120)}{(100-79)(100-95)(100-108)(100-120)} \cdot$$

Общий вид аппроксимированной функции примет следующий вид:

$$fU(z) = 0,0001 \cdot \Phi_0(z) + 0,00033 \cdot \Phi_1(z) + 0,0017 \cdot \Phi_2(z) + 0,0055 \cdot \Phi_3(z) + 0,055 \cdot \Phi_4(z) + 0,252 \cdot \Phi_5(z) + 0,391 \cdot \Phi_6(z) + 0,58 \cdot \Phi_7(z) + 0,765 \cdot \Phi_8(z) + 0,79 \cdot \Phi_9(z) + 1 \cdot \Phi_{10}(z). \quad (13)$$

Для сравнения функций ущерба (статистической и теоретической), построим теоретическую функцию (по формуле модели перехвата трафика), используя те же параметры, которые были использованы ранее в статистической модели и сопоставим ее с графиком статистической функции ущерба

$$u(t) = 1 - e^{-\xi \frac{V}{k}(t-t_0)^2} \quad (14)$$

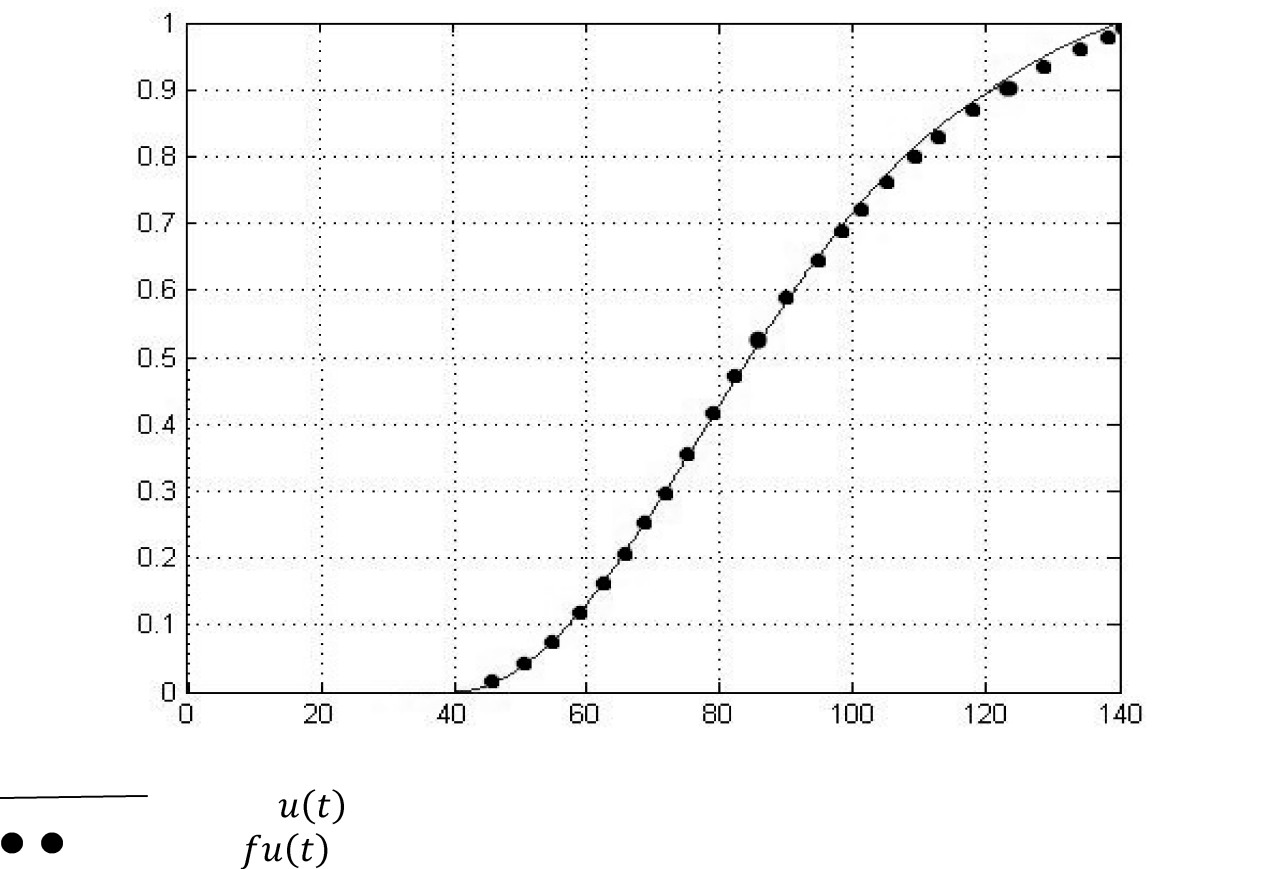


Рис. 4 Графическое представление сравнения теоретического и практического ущерба модели перехвата трафика

Теоретические данные распространение ущерба в результате реализации сниффинг-атаки во времени

Время (t), с	Ущерб (U(t))
0	0,0001
10	0,00033
20	0,0017
35	0,0055
50	0,055
68	0,252
79	0,391
95	0,58
108	0,765
120	0,79
140	1

На основе данного сравнения можно утверждать, что для описания процесса реализации сниффинг-атаки возможно использование модели перехвата трафика.

На основе функции ущерба (7) получим функцию полезности

$$U(t) = 1 - e^{-\xi \cdot \frac{V}{k} \cdot (t)^2} \quad (15)$$

Оценим вероятность наступления ущерба вероятность наступления ущерба:

$$P(t) = 1 - e^{-\frac{(t-\tau_a)}{\tau}}, \quad (16)$$

где

$t - \tau_a = t_0$  – время начала атаки;

$\tau_a$  – время действия атаки;

$\tau$  – время для подготовки сниффинг-атаки перспективными средствами съема информации, полученное при

моделировании сетей Петри – Маркова в предыдущем разделе.

В дальнейшем полученные результаты могут быть использованы для обоснования выбора аналитического выражения риска.

#### Литература

1. WASC Threat Classification. Version 2.0/ WEB APPLICATION SECURITY CONSORTIUM <http://www.webappsec.org>.

2. Радько Н.М., Скобелев И.О. Риск-модели информационно-телекоммуникационных систем при реализации угроз удаленного и непосредственного доступа. - М: РадиоСофт. 2010 . 230 С.

3. Hansman, S., Hunt R., “A taxonomy of network and computer attacks”. Computer and security (2005).

Воронежский государственный технический университет  
Voronezh State Technical University

## MODELLING THE PROCESS OF ATTACK BY STEALING PERSPECTIVE MEANS OF INFORMATION: MODEL OF INTERCEPTION OF TRAFFIC

**A.E. Kiselyov, A.S. Pakhomova, A.V. Baburin, I.V. Shevchenko**

In this work modeling of process of attack by perspective means съема information on the basis of Petri-Markov's networks is considered. The further description of model of interception of a traffic allows to receive a type of function of damage and to compare it with statistical data

Key words: attack, means secret съема information, damage, traffic